

การควบคุมตัวประกอบกำลังด้านเข้าของภาระโดยอาศัยคลื่นพาหะแบบขั้วคู่ สำหรับเมทริกซ์คอนเวอร์เตอร์

The Input Power Factor Control of a Carrier-Based Dipolar PWM for Matrix Converters

ไพบูลย์ เกียรติสุขคนารร^{1*} และ สมบูรณ์ แสงวงศ์วานิชย์²

¹อาจารย์ สาขาวิชาวิศวกรรมไฟฟ้า คณะวิศวกรรมศาสตร์และสถาปัตยกรรมศาสตร์

มหาวิทยาลัยเทคโนโลยีราชมงคลสุวรรณภูมิ จังหวัดสุพรรณบุรี 72130

²ผู้ช่วยศาสตราจารย์ ภาควิชาวิศวกรรมไฟฟ้า คณะวิศวกรรมศาสตร์ จุฬาลงกรณ์มหาวิทยาลัย กรุงเทพฯ 10330

บทคัดย่อ

บทความนี้นำเสนอการควบคุมตัวประกอบกำลังด้านเข้าของภาระโดยอาศัยคลื่นพาหะแบบขั้วคู่สำหรับเมทริกซ์คอนเวอร์เตอร์ ด้วยการกำหนดค่าพารามิเตอร์อิสระ b และ d ในคำตอบที่ไว้เบื้องต้นเมทริกซ์ภาระโดยต้องย่างเหมาะสม วิธีที่นำเสนอจะมีขั้นตอนในการ模ดูเลตง่ายๆไม่ยุ่งยากซับซ้อน นอกจากนั้นยังสามารถแสดงความเชื่อมโยงของการควบคุมตัวประกอบกำลังด้านเข้าจากกำลังไฟฟ้าและรีแอคทีฟด้านออกได้อย่างชัดเจน ผลการทดลองแสดงให้เห็นว่าวิธีการ模ดูเลตที่นำเสนอสามารถควบคุมตัวประกอบกำลังด้านเข้าได้ตามต้องการ

Abstract

This paper presents the input power factor control of a modulation using a carrier-based dipolar for matrix converters by determining the optimum value of free parameters, b and d, in general solutions of the modulation matrix. The proposed PWM method is not only less complicated but can clearly show the coupling of the input power factor control from both active and reactive output power. The experimental results show that the proposed PWM method can control the conditioned input power factor set earlier

คำสำคัญ : เมทริกซ์คอนเวอร์เตอร์ การ模ดูเลตโดยอาศัยคลื่นพาหะแบบขั้วคู่ ตัวประกอบกำลัง

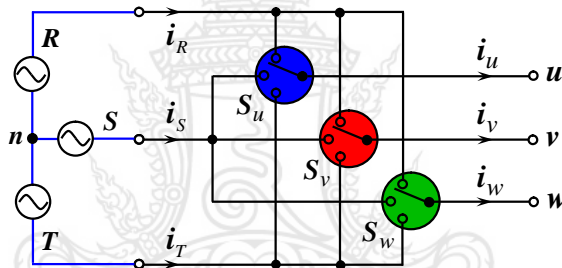
Keywords : matrix converters, carrier-based dipolar PWM, power factor

*ผู้อิพนธ์ประธานงานประชุมวิจัย Paiboonkiat@hotmail.com โทร. 0 3554 4301-3 ต่อ 127

1. บทนำ

เมทริกซ์คอนเวอร์เตอร์จะมีลักษณะโครงสร้างง่ายและดังรูปที่ 1 ซึ่งประกอบไปด้วยสวิตช์ 9 ตัว ทำหน้าที่ควบคุมการสร้างแรงดันด้านออกที่ต้องการจากแรงดันด้านเข้า ในขณะเดียวกันจะทำหน้าที่ควบคุมให้กระแสหรือตัวประกอบกำลังด้านเข้าเป็นไปตามที่ต้องการด้วย ซึ่งการควบคุมตัวประกอบกำลังด้านเข้านั้นนอกจากจะควบคุมให้มีค่าเท่ากับหนึ่งแล้วยังสามารถควบคุมให้ตัวประกอบกำลังด้านเข้านำหน้าหรือล้าหลังได้อีกด้วย เช่นงานวิจัย นำเสนองานมอดูล็อตเพื่อควบคุมให้ตัวประกอบกำลังด้านเข้าล้าหลังเพื่อชดเชยผลของวงจรกรองผ่านตัวด้านเข้าที่มีอมพ์เดนซ์รวมเป็น capacitor ผลงานวิจัย นำเสนอเมทริกซ์การมอดูล็อต 2 รูปแบบที่ให้มุ่งเน้นของกระแสด้านเข้าแตกต่างกันซึ่งทำให้สามารถควบคุมตัวประกอบกำลังด้านเข้าได้ นอกจากนั้นงานวิจัย เสนอการควบคุมตัวประกอบกำลังด้านเข้าผ่านค่าพารามิเตอร์อิสระ แต่งานวิจัยดังกล่าวยังมีความซับซ้อนสูง และไม่สามารถแสดงให้เห็นความเชื่อมโยงของการควบคุมตัวประกอบกำลังด้านเข้าจากกำลังไฟฟ้าแคร์ทีฟและรีแอคทีฟด้านออกได้อย่างชัดเจน

บทความนี้นำเสนอการควบคุมตัวประกอบกำลังด้านเข้าของ gm โดยอาศัยคลื่นพาราแบบขั้วคู่ผ่านค่าพารามิเตอร์อิสระในคำตอบที่นำไปของเมทริกซ์การมอดูล็อต ในบทความนี้จะแสดงให้เห็นว่าวิธีการมอดูล็อตที่น้ำเสนอง่ายไม่ซับซ้อนและสามารถแสดงให้เห็นถึงการเชื่อมโยงระหว่างตัวประกอบกำลังด้านเข้ากับกำลังไฟฟ้าแคร์ทีฟและรีแอคทีฟด้านออกได้อย่างชัดเจน



รูปที่ 1 โครงสร้างของเมทริกซ์คอนเวอร์เตอร์สมัยอินเวอร์เตอร์ 3 ระดับ

1.1 รูปแบบทั่วไปของเมทริกซ์การมอดูล็อต

รูปแบบทั่วไปของสมการแรงดันและกระแสของเมทริกซ์คอนเวอร์เตอร์แสดงดังสมการที่ (1) - (2) สัญลักษณ์ของแรงดันนิยามได้ตามรูปที่ 1

$$\begin{aligned} \begin{bmatrix} u \\ v \\ w \end{bmatrix} &= \underbrace{\begin{bmatrix} m_{11} & m_{12} & m_{13} \\ m_{21} & m_{22} & m_{23} \\ m_{31} & m_{32} & m_{33} \end{bmatrix}}_{\mathbf{M}} \begin{bmatrix} R \\ S \\ T \end{bmatrix} = \begin{bmatrix} u^* + v_z \\ v^* + v_z \\ w^* + v_z \end{bmatrix} \\ v_o &= \mathbf{M} v_i \end{aligned} \quad (1)$$

$$i_i = \mathbf{M}^T i_o \quad (2)$$

$$0 \leq m_{ij} \leq 1, \quad \sum_{j=1}^3 m_{ij} = 1, \quad i = \{1, 2, 3\}, j = \{1, 2, 3\} \quad (3)$$

เมื่อ \mathbf{M} คือเมทริกซ์การมอดูล็อตขนาด 3×3 m_{ij} คือฟังก์ชันการสวิตช์ของสวิตช์แต่ละตัว

R, S, T คือแรงดันด้านเข้า u^*, v^*, w^* คือกำลังแรงดันด้านออก

v_z คือแรงดันลำดับศูนย์ i, o แทนปริมาณด้านเข้าและด้านออก

2. วิธีการทดลอง

2.1 การควบคุมตัวประกอบกำลังด้านเข้าของการมอดูเลตโดยอาศัยคลื่นพาหะ

การควบคุมตัวประกอบกำลังด้านเข้า

ผลการวิจัย Somboon Sangwongwanich ได้ให้คำตอบทั่วไปของเมทริกซ์การมอดูเลต \mathbf{M} ที่สอดคล้องกับสมการที่ (1) และ (2) แสดงอยู่ในเทอมของแรงดันด้านออกค่าสั่ง u^*, v^*, w^* และแรงดันด้านเข้า R, S, T ได้ดังสมการที่ (4) โดยมี b, d และ \mathbf{M}_0 เป็นพารามิเตอร์อิสระในการมอดูเลต ในที่นี้ \mathbf{J} คือเมทริกซ์การหมุน 90° ในทิศทวนเข็มนาฬิกาและ $\parallel \parallel$ แสดงถึงขนาดของเวกเตอร์

$$\mathbf{M} = \underbrace{\frac{\mathbf{v}_o^* \mathbf{v}_i^T}{\|\mathbf{v}_i\|^2}}_{\mathbf{M}_U} + b \underbrace{\frac{\mathbf{v}_o^* [\mathbf{J} \mathbf{v}_i]^T}{\|\mathbf{v}_i\|^2}}_{\mathbf{M}_{P(b)}} + d \underbrace{\frac{[\mathbf{J} \mathbf{v}_o^*] [\mathbf{J} \mathbf{v}_i]^T}{\|\mathbf{v}_i\|^2}}_{\mathbf{M}_Q^{(d)}} + \mathbf{M}_0 \quad (4)$$

จากสมการที่(4) เมื่อนำไปแทนในสมการที่ (1) และ (2) จะได้ความสัมพันธ์ระหว่างแรงดันด้านออกกับแรงดันด้านเข้าตามสมการที่ (5) และได้ความสัมพันธ์ระหว่างกระแสเดินทางเข้ากับกำลังไฟฟ้าแยกที่ฟาร์เรียคทีฟด้านออกตามสมการที่ (6)

$$\mathbf{v}_o = \left(\underbrace{\frac{\mathbf{v}_o \mathbf{v}_i^T}{\|\mathbf{v}_i\|^2}}_{\mathbf{M}_U \mathbf{v}_i = \mathbf{v}_o^*} + \underbrace{b \frac{\mathbf{v}_o (\mathbf{J} \mathbf{v}_i)^T}{\|\mathbf{v}_i\|^2}}_{\mathbf{M}_P \mathbf{v}_i = 0} + \underbrace{d \frac{(\mathbf{J} \mathbf{v}_o)(\mathbf{J} \mathbf{v}_i)^T}{\|\mathbf{v}_i\|^2}}_{\mathbf{M}_Q \mathbf{v}_i = 0} + \underbrace{\mathbf{M}_0}_{\mathbf{M}_0 \mathbf{v}_i = \mathbf{v}_Z} \right) \mathbf{v}_i \quad (5)$$

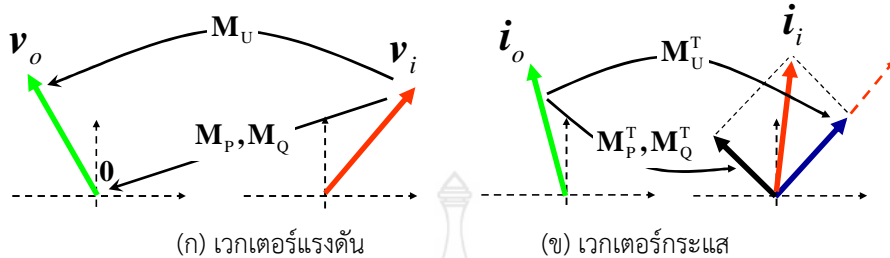
$$\mathbf{i}_i = \underbrace{\mathbf{v}_i \frac{\mathbf{M}_U^T \mathbf{i}_o}{\|\mathbf{v}_i\|^2}}_{\text{active current}} + \underbrace{b \mathbf{J} \mathbf{v}_i \frac{(\mathbf{v}_o^T \mathbf{i}_o)}{\|\mathbf{v}_i\|^2}}_{\text{reactive current}} + \underbrace{d \mathbf{J} \mathbf{v}_i \frac{(\mathbf{J} \mathbf{v}_o)^T \mathbf{i}_o}{\|\mathbf{v}_i\|^2}}_{\text{reactive current}} + \underbrace{\mathbf{M}_0^T \mathbf{i}_o}_0 \quad (6)$$

$$= \mathbf{v}_i \frac{P_o}{\|\mathbf{v}_i\|^2} + \mathbf{J} \mathbf{v}_i \left[\frac{b \cdot P_o}{\|\mathbf{v}_i\|^2} - \frac{d \cdot q_o}{\|\mathbf{v}_i\|^2} \right]$$

$$p_i(t) = p_o(t); \quad q_i(t) = -b \cdot p_o(t) + d \cdot q_o(t) \quad (7)$$

จากสมการที่ (5) และ (6) แสดงให้เห็นว่าเมทริกซ์การแปลง \mathbf{M}_P และ \mathbf{M}_Q จะไม่สร้างแรงดันด้านออกเนื่องจาก $(\mathbf{J} \mathbf{v}_i)^T \cdot \mathbf{v}_i = 0$ เสมอ แต่จะสร้างกระแสเดรียคทีฟด้านเข้าเท่านั้น ค่าพารามิเตอร์อิสระ b และ d จึงสามารถใช้ในการปรับค่าตัวประกอบกำลังด้านเข้าได้โดยไม่กระทบต่อแรงดันด้านออก สมการที่ (6) ชี้ให้เห็นพฤติกรรมของเมทริกซ์การแปลงแต่ละส่วนว่าสร้างกระแสเดินทางเข้าในองค์ประกอบแยกที่ฟาร์เรียคทีฟและรีแอคทีฟอย่างไร ซึ่งสามารถแสดงความสัมพันธ์ระหว่างแรงดันและกระแสได้ดังรูปที่ 2 นอกจากนั้นสมการที่ (7) ยังแสดงให้เห็นถึงความเชื่อมโยงอย่างชัดเจนว่าเพื่อสร้างกำลังไฟฟ้าแยกที่ฟาร์เรียคทีฟทั้งด้านเข้าและด้านออก กล่าวคือกำลังไฟฟ้าแยก

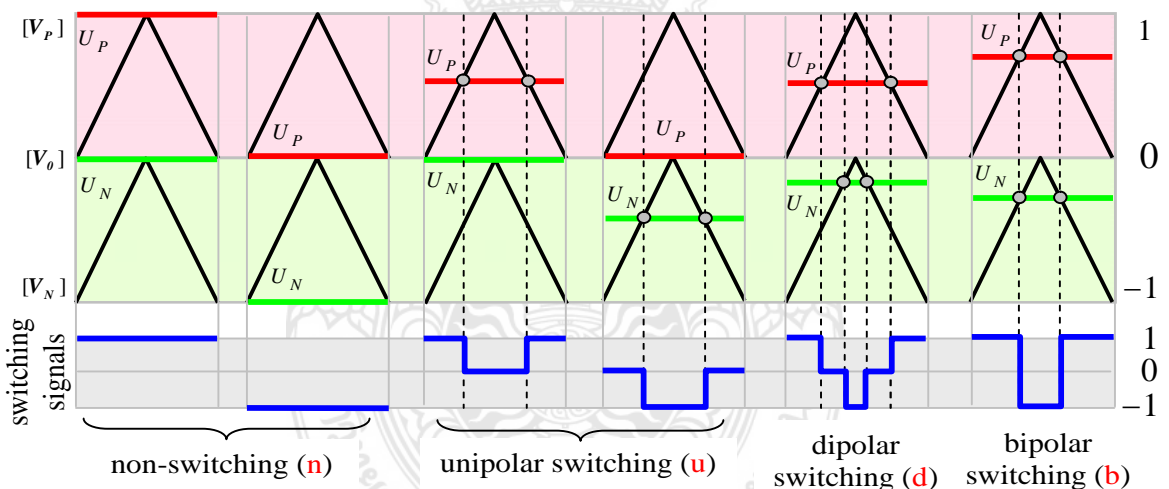
ที่ฟด้านเข้าจะขึ้นกับกำลังไฟฟ้าแอกที่ฟด้านออกเท่านั้น แต่กำลังไฟฟารีแอกที่ฟด้านเข้าจะขึ้นกับทั้งกำลังไฟฟ้าแอกที่ฟ และรีแอกที่ฟด้านออก



รูปที่ 2 พฤติกรรมของเมทริกซ์การมอڈูลेटต่อลักษณะการเปลี่ยนเวกเตอร์แรงดันและกระแส

2.2 การมอڈูละต์ความกว้างพัลส์โดยอาศัยคลื่นพาหะแบบขั้วคู่

ในการมอڈูละต์เพื่อควบคุมตัวประกอบกำลังด้านเข้าจะใช้การมอڈูละต์โดยอาศัยคลื่นพาหะแบบขั้วคู่ ซึ่งเป็นวิธีการสร้างสัญญาณขั้บนำสวิตช์ที่อาศัยสัญญาณอ้างอิงบัสบวก U_P และบัสลบ U_N เปรียบเทียบกับคลื่นพาหะ 2 ตัวดังแสดงในรูปที่ 3



รูปที่ 3 การมอڈูละต์โดยอาศัยคลื่นพาหะแบบขั้วคู่ของอินเวอร์เตอร์ 3 ระดับ

จากสมการที่ (4) สามารถเขียนรูปแบบทั่วไปของเมทริกซ์การมอଡูละต์ขนาด 3×3 ซึ่งสามารถนำมาใช้ในการควบคุมตัวประกอบกำลังด้านเข้าได้ตามสมการที่ (8)

$$\mathbf{M} = \mathbf{M}_U + \mathbf{M}_P + \mathbf{M}_Q + \mathbf{M}_0 \quad (8)$$

-varavikarang
การประชุมวิชาการมหาวิทยาลัยเทคโนโลยีราชมงคล ครั้งที่ 5

$$\mathbf{M}_U = \frac{1}{(R^2 + S^2 + T^2)} \begin{bmatrix} u^* \\ v^* \\ w^* \end{bmatrix} \begin{bmatrix} R & S & T \end{bmatrix}$$

$$\mathbf{M}_P = \frac{b}{\sqrt{3}(R^2 + S^2 + T^2)} \begin{bmatrix} u^* \\ v^* \\ w^* \end{bmatrix} \begin{bmatrix} S-T & T-R & R-S \end{bmatrix}$$

$$\mathbf{M}_Q = \frac{d}{3(R^2 + S^2 + T^2)} \begin{bmatrix} v^* - w^* \\ w^* - u^* \\ u^* - v^* \end{bmatrix} \begin{bmatrix} S-T & T-R & R-S \end{bmatrix}$$

$$\mathbf{M}_0 = \begin{bmatrix} 1 \\ 1 \\ 1 \end{bmatrix} \begin{bmatrix} X & Y & Z \end{bmatrix}; \quad \begin{cases} 0 \leq X, Y, Z \leq 1 \\ X + Y + Z = 1 \end{cases}$$

ในการพิจารณาต่อไปนี้เพื่อให้ง่ายต่อการอธิบาย จะสมมติให้แรงดันด้านเข้าและด้านออกมีลำดับค่า ดังนี้คือ $R = \max(R, S, T)$, $S = \min(R, S, T)$, $T = \text{mid}(R, S, T)$ และ $u^* > v^* > w^*$ สำหรับในกรณี อื่น ๆ ก็สามารถถูกติดได้ในทำงเดียวกัน

เมื่อแทนสมการที่ (8) ในสมการที่ (1) และจัดรูปสมการใหม่เพื่อให้จุดอ้างอิงของแรงดันในสมการอยู่ที่ไฟสี ซึ่ง แรงดันด้านเข้าเป็นค่ากลางในกรณีนี้คือไฟสี S จะได้ตามสมการที่ (9)

$$\begin{bmatrix} u - S \\ v - S \\ w - S \end{bmatrix} \square \begin{bmatrix} u_P \\ v_P \\ w_P \end{bmatrix} + \begin{bmatrix} u_N \\ v_N \\ w_N \end{bmatrix} \square \begin{bmatrix} m_{11} \\ m_{21} \\ m_{31} \end{bmatrix} [R - S] - \begin{bmatrix} m_{13} \\ m_{23} \\ m_{33} \end{bmatrix} [S - T] \quad (9)$$

เมื่อนำการมอดูเลตแบบขั้นคู่ของอินเวอร์เตอร์ 3 ระดับที่แสดงดังรูปที่ 3 มาประยุกต์ใช้กับเมทริกซ์คอนเวอร์เตอร์ในกรณีที่ $R = "max"$, $S = "mid"$ และ $T = "min"$ จะได้แรงดัน $v_P = R$, $v_0 = S$, $v_N = T$ สัญญาณ อ้างอิง U_P และ U_N ที่ใช้เปรียบเทียบกับคลื่นพาหะขนาดหนึ่งหน่วยสำหรับคุณตัวประกอบกำลังด้านเข้าหาได้โดย นำค่าแรงดันอ้างอิงของบัสบวกและบัสลบในสมการที่ (9) มาทำเป็นค่าปัททสถาน(Normalize) เพียงกับขนาดของบัส บวก($R-S$) และบัสลบ($S-T$) ตามลำดับ สัญญาณอ้างอิงดังกล่าวจะได้จากคอลัมน์ที่หนึ่งและสามของเมทริกซ์การ มอดูเลตดังแสดงในสมการที่ (10)

$$[U_P] = \begin{bmatrix} m_{11} \\ m_{21} \\ m_{31} \end{bmatrix} = \begin{bmatrix} m'_{11} + X \\ m'_{21} + X \\ m'_{31} + X \end{bmatrix} \geq 0, \quad [U_N] = - \begin{bmatrix} m_{13} \\ m_{23} \\ m_{33} \end{bmatrix} = - \begin{bmatrix} m'_{13} + Z \\ m'_{23} + Z \\ m'_{33} + Z \end{bmatrix} \leq 0 \quad (10)$$

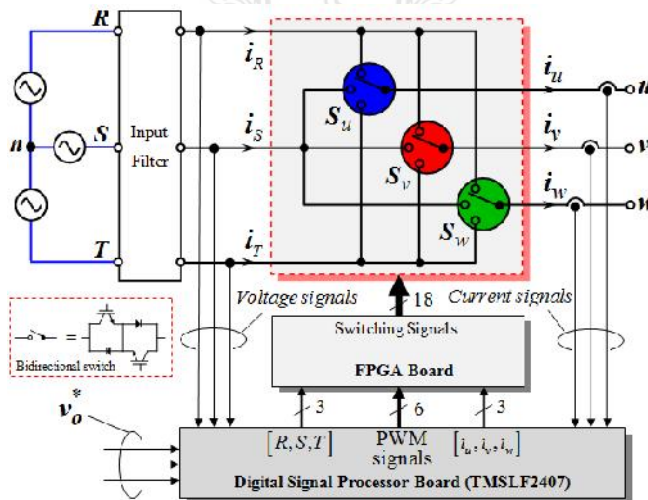
เมื่อ $\mathbf{M}' = [m'_{ij}] \square \mathbf{M}_U + \mathbf{M}_P + \mathbf{M}_Q$ จะได้

$$\begin{aligned}
 [U_P] &= \left\{ \frac{\left(R \begin{bmatrix} u^* \\ v^* \\ w^* \end{bmatrix} + b \frac{(S-T)}{\sqrt{3}} \begin{bmatrix} u^* \\ v^* \\ w^* \end{bmatrix} + d \frac{(S-T)}{3} \begin{bmatrix} v^*-w^* \\ w^*-u^* \\ u^*-v^* \end{bmatrix} \right)}{(R^2 + S^2 + T^2)} + \begin{bmatrix} X \\ X \\ X \end{bmatrix} \right\} \\
 [U_N] &= - \left\{ \frac{\left(T \begin{bmatrix} u^* \\ v^* \\ w^* \end{bmatrix} + b \frac{(R-S)}{\sqrt{3}} \begin{bmatrix} u^* \\ v^* \\ w^* \end{bmatrix} + d \frac{(R-S)}{3} \begin{bmatrix} v^*-w^* \\ w^*-u^* \\ u^*-v^* \end{bmatrix} \right)}{(R^2 + S^2 + T^2)} - \begin{bmatrix} Z \\ Z \\ Z \end{bmatrix} \right\}
 \end{aligned} \quad (11)$$

โดยในที่นี่จะเลือกค่า X, Y, Z ของเมทริกซ์แรงดันลำดับศูนย์ ที่ทำให้การมอตเตลเป็นแบบขั้วเดียว 2 เฟส และแบบขั้วคู่ 1 เฟส <2u1d> Somboon Sangwongwanich

2.3 โครงสร้างฮาร์ดแวร์ของระบบ

อัลกอริทึมของการมอตเตลโดยอาศัยคลื่นพาราเบลล์ขั้วคู่ที่นำไปใช้เพื่อควบคุมตัวประกอบกำลังด้านเข้าจะใช้บอร์ด DSP รุ่น TMSLF2407 ร่วมกับบอร์ด FPGA โครงสร้างฮาร์ดแวร์ของระบบแสดงได้ดังรูปที่ 4



รูปที่ 4 โครงสร้างฮาร์ดแวร์ของระบบที่ใช้ในการทดลอง

รูปที่ 4 สามารถอธิบายหน้าที่การทำงานอย่างคร่าวๆ ได้ดังนี้ บอร์ด DSP ใช้วิธีการมอตเตลแบบขั้วคู่ที่นำเสนอจะสร้างสัญญาณ PWM จากคลื่นพาราเบลล์ขั้วคู่ที่เป็นค่า $\max(R, S, T)$ และ $\min(R, S, T)$ ค่าสัญญาณอ้างอิง U_P และ U_N จะคำนวนจากข้อมูลคำสั่งแรงดันด้านออก u^*, v^*, w^* และแรงดันด้านเข้า R, S, T จากนั้นบอร์ด FPGA จะรับสัญญาณ PWM ดังกล่าวไปสร้างสัญญาณ PWM สำหรับเฟสที่เป็นค่า $\text{mid}(R, S, T)$ และท้ายที่สุดจะนำสัญญาณ PWM ทั้งสามเฟสมาสร้างสัญญาณขับนำสวิตช์สำหรับ IGBT 18 ตัว โดยมีการปรับค่าเวลาประวิง(Dead time) อย่างเหมาะสม การสับเปลี่ยนกระแสระหว่างสวิตช์ (Commutation) จะอาศัยข้อมูลทิศทางของกระแสด้านออก

3. ผลการทดลองและวิเคราะห์ผล

3.1 ผลการทดสอบการทำงาน

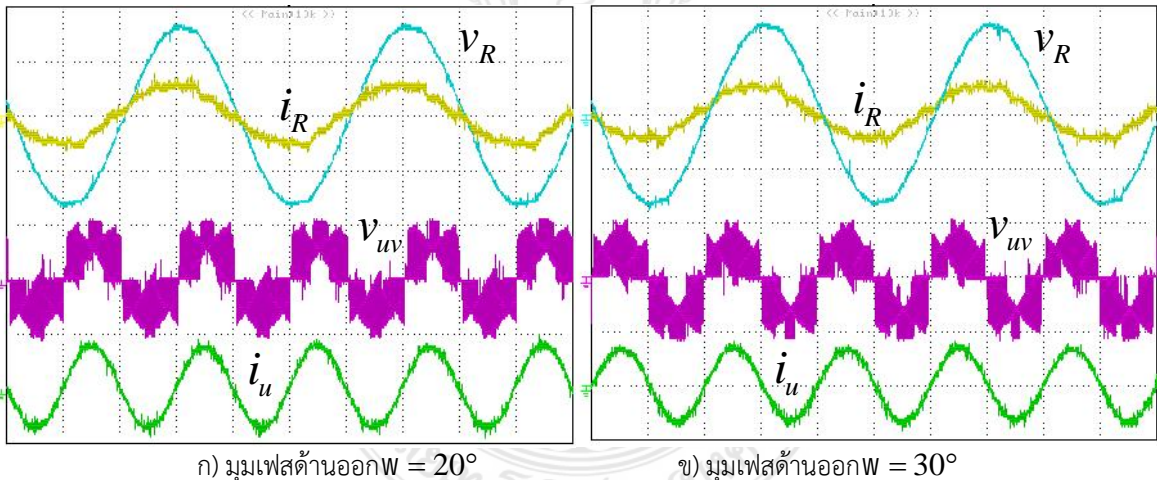
การทดสอบในหัวข้อนี้จะแสดงให้เห็นว่าการมอดูเลตโดยอาศัยคลื่นพาหะแบบขั้วคู่ที่ได้นำเสนอสามารถควบคุมให้ตัวประกอบกำลังด้านเข้าเท่ากับหนึ่งได้โดยไม่ขึ้นกับตัวประกอบกำลังด้านออก นอกจากนั้นจะแสดงผลการทดสอบการควบคุมตัวประกอบกำลังด้านเข้าล้าหลังและนำหน้า โดยอาศัยการควบคุมผ่านพารามิเตอร์อิสระ b และ d ในที่นี้จะกำหนดให้ โหลดมีค่า $R=50\Omega$, $L=34mH$ ความถี่ด้านออก 100 Hz ดัชนีการมอดูเลต $q=0.6$ และความถี่การสวิตช์ 10 kHz

3.2 ผลการทดสอบตัวประกอบกำลังด้านเข้าเท่ากับหนึ่ง

การทดสอบการมอดูเลตเพื่อควบคุมให้ตัวประกอบกำลังด้านเข้าเท่ากับหนึ่งจะกำหนดให้ตัวประกอบกำลังด้านออกมีค่าแตกต่างกันโดยการเปลี่ยนมุมเฟสด้านออก (W) เท่ากับ 20 และ 30 องศา ตามลำดับ

รูปที่ 5 แสดงผลการทดลองในการควบคุมให้ตัวประกอบกำลังด้านเข้าเท่ากับหนึ่งเมื่อกำหนดให้พารามิเตอร์ $b=d=0$ รูปคลื่นด้านบนคือแรงดันด้านเข้า(สีฟ้า)และกระแสด้านเข้า(สีเหลือง) ถัดมาคือรูปคลื่นแรงดันด้านออกระหว่างเฟส(สีวง) และสุดท้ายคือรูปคลื่นกระแสด้านออก(สีเขียว) ผลการทดลองแสดงให้เห็นว่ากระแสด้านเข้ามีลักษณะเป็นรูปคลื่นไซน์และมีเฟสตรงกับแรงดันด้านเข้าแม้ตัวประกอบกำลังด้านออกจะแตกต่างกัน อย่างไรก็ตามหากสังเกตรูปคลื่นกระแสด้านเข้าจะมีเฟสนำหน้าแรงดันด้านเข้าอยู่เล็กน้อยซึ่งมีผลมาจากการตัวเก็บประจุของวงจรรองผ่านตัวด้านเข้า

Input voltage : [100V/div], Output voltage : [250V/div], Current : [2A/div], Time : [5ms/div]



ก) มุมเฟสด้านออก $W = 20^\circ$

ข) มุมเฟสด้านออก $W = 30^\circ$

รูปที่ 5 ผลการทดลองการควบคุมตัวประกอบกำลังด้านเข้าเท่ากับหนึ่ง

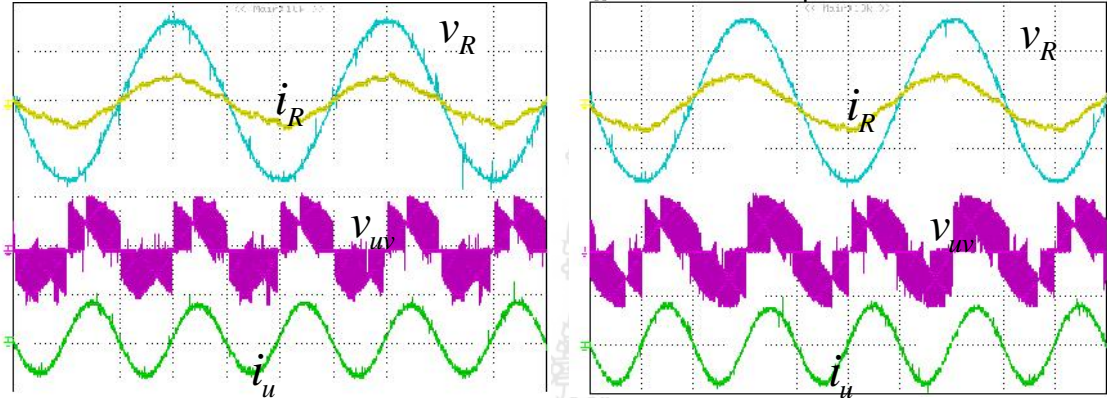
3.3 ผลการทดสอบตัวประกอบกำลังด้านเข้าล้าหลัง

การทดสอบการมอดูเลตเพื่อควบคุมตัวประกอบกำลังด้านเข้าล้าหลังจะอาศัยการกำหนดค่าพารามิเตอร์ b และ d โดยจะแบ่งออกเป็น 2 กรณี คือ 1) ใช้เฉพาะพารามิเตอร์ b 2) ใช้เฉพาะพารามิเตอร์ d เนื่องจาก การกำหนดค่าพารามิเตอร์ b และ d จะใช้ค่าที่ให้กระแสด้านเข้าล้าหลังโดยไม่เกิดการมอดูเลตเกินและสอดคล้อง ตามสมการที่(7) ในที่นี้จะกำหนดให้มุมเฟสของกระแสด้านออก $W = 20^\circ$

ผลการทดลองการควบคุมให้ตัวประกอบกำลังด้านเข้าล้าหลัง เมื่อกำหนดให้ $b=-0.5$, $d=0$ และ $b=0$, $d=-0.5$ แสดงดังรูปที่ 6 จะเห็นได้ว่ากระแสด้านเข้าจะนำหน้าอยกว่ากรณีตัวประกอบกำลังด้านเข้าเท่ากับหนึ่งเนื่องจากกรณีนี้กระแสด้านเข้าจะมีทั้งกระแสแลกทีฟและเรียลกทีฟ ผลของกระแสเรียลกทีฟจะทำให้กระแสและแรงดันด้านเข้ามีเฟส

ตรงกัน เมื่อเปรียบเทียบกับผลการทดลองในรูปที่ 5 ก) ลักษณะดังกล่าวซึ่ห์ให้เห็นว่าการมอดูลเตตที่ได้นำเสนอสามารถควบคุมให้ตัวประกอบกำลังด้านเข้าล้าหลังได้

Input voltage : [100V/div], Output voltage : [250V/div], Current : [2A/div], Time : [5ms/div]



ก) พารามิเตอร์อิสระ $b = -0.5, d = 0$

ข) พารามิเตอร์อิสระ $b = 0, d = -0.5$

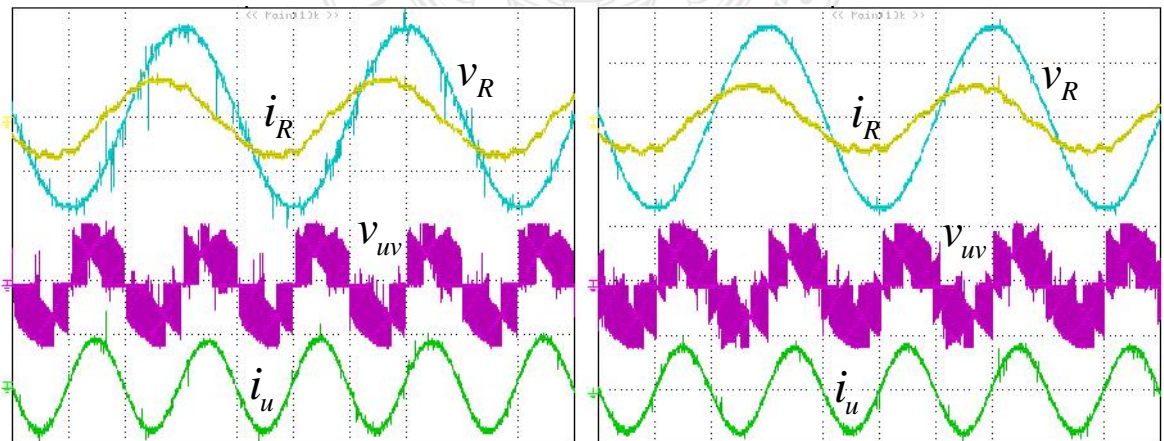
รูปที่ 6 ผลการทดลองการควบคุมตัวประกอบกำลังด้านเข้าล้าหลัง

3.4 ผลการทดสอบตัวประกอบกำลังด้านเข้านำหน้า

การมอดูลเตตเพื่อควบคุมตัวประกอบกำลังด้านเข้านำหน้าจะกำหนดเงื่อนไขการทดสอบในทำงานของเดียวกันกับกรณีตัวประกอบกำลังด้านเข้าล้าหลัง แต่ในกรณีนี้จะกำหนดให้ค่าพารามิเตอร์ b และ d มีเครื่องหมายตรงกันข้ามการกำหนดค่า b และ d จะใช้ค่าที่ให้ตัวประกอบกำลังด้านเข้านำหน้าโดยไม่เกิดการมอดูลเตตเกินเช่นเดียวกัน

ผลการทดลองในรูปที่ 7 แสดงให้เห็นว่าเราสามารถควบคุมให้ตัวประกอบกำลังนำหน้าได้ โดยสังเกตจากกระแสด้านเข้าจะนำหน้ามากกว่ากรณีตัวประกอบกำลังด้านเข้าท่ากันหนึ่งในรูปที่ 5 ก) ผลการทดลองแสดงให้เห็นด้วยว่ากรณีที่ $b = 0.5, d = 0$ จะเป็นกรณีที่ให้กระแสนำหน้ามากกว่าในกรณีที่ $b = 0, d = 0.5$ เนื่องจากการควบคุมกระแสแลกที่ฟด้านเข้าเพื่อบรรคค่าตัวประกอบกำลังผ่านพารามิเตอร์ d จะอาศัยกระแสแลกที่ฟด้านออกเป็นตัวควบคุมแต่ถ้ากระแสแลกที่ฟด้านออกมีค่าน้อยจึงไม่สามารถควบคุมกระแสแลกที่ฟด้านเข้าได้มากเหมือนการใช้พารามิเตอร์ b ซึ่งเป็นกรณีที่ใช้กระแสแลกที่ฟเป็นตัวควบคุม

Input voltage : [100V/div], Output voltage : [250V/div], Current : [2A/div], Time : [5ms/div]



ก) พารามิเตอร์อิสระ $b = 0.5, d = 0$

ข) พารามิเตอร์อิสระ $b = 0, d = 0.5$

รูปที่ 7 ผลการทดลองการควบคุมตัวประกอบกำลังด้านเข้านำหน้า

4. สรุป

บทความนี้นำเสนอการควบคุมตัวประกอบกำลังด้านเข้าของการมอตอร์โดยอาศัยคลื่นพาหะแบบขั้วคู่ด้วยการกำหนดค่าพารามิเตอร์อิสระ b และ d อย่างเหมาะสม วิธีการมอตอร์เล็ตที่นำเสนอจ่ายໄม่ยุ่งยากซับซ้อนนอกจานนี้ยังสามารถแสดงความเชื่อมโยงระหว่างการควบคุมตัวประกอบกำลังด้านเข้ากับกำลังไฟฟ้าแอคทีฟและรีแอคทีฟได้ด้านออกได้อย่างชัดเจน ผลการทดลองแสดงให้เห็นว่าสามารถควบคุมตัวประกอบกำลังด้านเข้าได้ตามที่ต้องการการกำหนดพารามิเตอร์อิสระ $b=d=0$ จะได้ตัวประกอบกำลังเท่ากับหนึ่ง และถ้ากำหนด $b=-0.5$ หรือ $d=-0.5$ จะได้ตัวประกอบกำลังล้าหลัง เด็ก้ากำหนด $b=0.5$ หรือ $d=0.5$ จะได้ตัวประกอบกำลังนำหน้า

5. เอกสารอ้างอิง

- L. Huber and D. Borojevic., 1995. Space vector modulated three-phase to three-phase matrix converter with input power factor correction, *IEEE Trans. on Ind. Appl.*, vol. 31, no. 6, pp. 1234-1246.
- Y.-D. Yoon and S.-K. Sul., 2007. Carrier-based modulation method for matrix converter with input power factor control and under unbalanced input voltage conditions. in *Proc. Conf. Rec. IEEE APEC*, pp. 310-314
- H. M. Nguyen et al., 2011. Input Power Factor Compensation Algorithms Using a New Direct-SVM Method for Matrix Converter, *IEEE Trans. Ind. Electron*, vol. 58, no. 1, pp. 232-243.
- F. Schafmeister and Johann W. Kolar., 2012. Novel hybrid modulation schemes significantly extending the reactive power control range of all matrix converter topologies with low computational effort, *IEEE Trans. Ind. Electron*, vol. 59, no. 1, pp. 194-210.
- M. Venturini and A. Alesina., 1980. The generalized transformer: A new bidirectional sinusoidal waveform frequency converter with continuously adjustable input power factor, in *Proc. IEEE PESC'80*, pp. 242-252.
- M. Braun and K. Hasse., 1983. A direct frequency changer with control of input reactive power, *IFAC control in power electronic and electrical drives*, Lausanne, Switzerland, pp. 187-194.
- D. Casadei, G. Serra, A. Tani, and L. Zarri., 2002. Matrix converter modulation strategies: A new general approach based on space-vector representation of the switch state. *IEEE Trans. Ind. Electron.* Vol. 49, no.2, pp. 370-381.
- Paiboon Kiatsookkanatorn and Somboon Sangwongwanich., 2012. A Unified PWM Method for Matrix Converters and Its Carrier-Based Realization Using Dipolar Modulation Technique, *IEEE Trans. Ind. Electron*, vol. 59, no.1, pp. 80-92.